

# Методы онлайн-выпуклой оптимизации с ограничениями: сравнение Polyak Feasibility Steps, проекционных и primal–dual алгоритмов

Олег Бациев, Ксения Карпеева, Александра Иванова,

Innopolis University  
22 декабря 2025

## Аннотация

В работе исследуются методы онлайн-выпуклой оптимизации с ограничениями. Основное внимание уделено сравнению подхода Polyak Feasibility Steps (PFS), предложенного в недавней работе 2025 года, с классическими алгоритмами, используемыми в constrained OCO.

В рамках единого экспериментального протокола реализованы и сопоставлены четыре метода: онлайн-градиентный спуск с шагами допустимости Поляка (PFS), primal–dual алгоритм Drift-Plus-Penalty (DPP), его модификация с затянутым ограничением (DPP-T), а также проекционный онлайн-градиентный метод (POGD).

Экспериментальное сравнение проведено на двух типичных задачах: синтетической квадратичной задаче с простыми ограничениями и задаче онлайн-логистической регрессии с ограничением на норму параметров. Анализируются как показатели качества оптимизации (regret), так и характеристики соблюдения ограничений.

## Содержание

<b>1 Введение и мотивация</b>	<b>3</b>
1.1 Формальный пример задачи . . . . .	3
1.2 Почему Constrained OCO является нетривиальной задачей . . . . .	3
1.3 Идея Polyak Feasibility Steps . . . . .	4
1.4 Цель проекта . . . . .	4
<b>2 Постановка задачи: OCO и Constrained OCO</b>	<b>5</b>
2.1 Онлайн-выпуклая оптимизация (OCO) . . . . .	5
2.2 OCO с ограничениями . . . . .	6
<b>3 Алгоритмы</b>	<b>7</b>
3.1 POGD: Projected Online Gradient Descent . . . . .	7
3.2 DPP: Drift-Plus-Penalty (primal–dual, виртуальная очередь) . . . . .	8
3.3 DPP-T: DPP с затянутым ограничением . . . . .	9
3.4 PFS: Online Gradient Descent + Polyak Feasibility Steps . . . . .	10

<b>4 Реализация и воспроизводимость</b>	<b>12</b>
4.1 Структура проекта . . . . .	12
4.2 Запуск экспериментов . . . . .	12
4.3 Сохраняемые артефакты . . . . .	12
4.4 Сопоставимость условий . . . . .	13
4.5 Метрики и ограничение на число обращений к $g(\cdot)$ . . . . .	13
4.6 Вычисление онлайн-оптимума для regret . . . . .	14
4.7 Реализованные эксперименты . . . . .	14
<b>5 Эксперимент 1: синтетическая квадратичная задача Toy Quadratic</b>	<b>14</b>
5.1 Постановка и онлайн-эталон . . . . .	14
5.2 Параметры эксперимента . . . . .	15
5.3 Результаты . . . . .	15
5.4 Результаты . . . . .	17
<b>6 Эксперимент 2: онлайн-логистическая регрессия с ограничением на норму</b>	<b>18</b>
6.1 Задача . . . . .	18
6.2 Настройки . . . . .	19
6.3 Графики по траектории . . . . .	19
6.4 Итоговые метрики при $T = 50000$ . . . . .	22
<b>7 Выводы</b>	<b>23</b>
7.1 Результаты экспериментов . . . . .	23
7.2 Интерпретация . . . . .	24
7.3 Выводы . . . . .	24
7.4 Возможные направления развития . . . . .	24

# 1 Введение и мотивация

Задачи онлайн-оптимизация возникают в ситуациях, где решения необходимо принимать последовательно, а стоимость ошибки становится известна только после действия. Типичные примеры включают онлайн-обучение моделей, адаптивную настройку систем, распределение ресурсов, рекламные ставки и рекомендательные системы. Формально такие задачи описываются моделью Online convex optimization (OCO), в которой на шаге  $t$  алгоритм сначала выбирает решение  $x_t$ , а затем наблюдает выпуклую функцию потерь  $f_t(\cdot)$  и несёт потерю  $f_t(x_t)$  [1, 5].

Во многих прикладных задачах, помимо минимизации потерь, присутствуют ограничения: бюджеты, ограничения на риск и нормы параметров, требования безопасности или fairness. В этом случае важно не только уменьшать суммарные потери, но и *контролировать нарушения ограничений во времени*, что приводит к постановке задачи онлайн-выпуклой оптимизации с ограничениями (constrained OCO) [1].

## 1.1 Формальный пример задачи

Рассмотрим задачу онлайн-оптимизации, соответствующую второму бенчмарку, а именно онлайн-логистической регрессии с ограничением на норму параметров. Пусть  $w \in \mathbb{R}^d$  — вектор параметров линейного классификатора. Процесс взаимодействия с окружающей средой происходит в течение  $T$  раундов. На каждом шаге  $t = 1, \dots, T$  выполняются следующие действия:

1. алгоритм выбирает вектор параметров  $w_t \in \mathbb{R}^d$ ;
2. после этого становится доступным наблюдение  $(a_t, b_t)$ , где  $a_t \in \mathbb{R}^d$  — вектор признаков, а  $b_t \in \{-1, +1\}$  — бинарная метка;
3. алгоритм несёт значение функции потерь, заданной логистической функцией с  $\ell_2$ -регуляризацией:

$$f_t(w) = \log(1 + \exp(-b_t a_t^\top w)) + \frac{\lambda}{2} \|w\|_2^2;$$

4. выбранные параметры должны удовлетворять выпуклому ограничению на норму

$$g(w) = \|w\|_2 - B \leq 0, \quad \text{эквивалентно } \|w\|_2 \leq B.$$

Таким образом, задача заключается в последовательной минимизации суммарной логистической потери при наличии жёсткого ограничения на допустимую область параметров. Ограничение на  $\ell_2$ -норму служит для предотвращения неограниченного роста параметров модели, что особенно важно в условиях шума, нестационарности или адversarialного характера поступающих данных.

## 1.2 Почему Constrained OCO является нетривиальной задачей

В отсутствие ограничений задача онлайн-оптимизации может быть решена стандартными методами первого порядка, такими как онлайн-градиентный спуск. Однако при наличии функциональных ограничений вида  $g(w) \leq 0$  ситуация существенно усложняется. В этом случае возникает принципиальный выбор между двумя альтернативными стратегиями:

- поддерживать допустимость решения на каждом шаге алгоритма, например, посредством проекции на допустимое множество;
- допускать временные нарушения ограничений, контролируя их лишь в среднем или в суммарном виде.

В существующей литературе по constrained online convex optimization можно выделить два основных класса методов.

Первый класс составляют проекционные методы, такие как Projected Online Gradient Descent. В этих алгоритмах после выполнения градиентного шага решение явно проецируется на истинное допустимое множество  $X$ . Такой подход обеспечивает строгую допустимость на каждом раунде, однако требует вычисления проекции на  $X$ , что может быть вычислительно затратным или даже практически неосуществимым, если множество  $X$  имеет сложную геометрию.

Второй класс методов включает примально-двойственные алгоритмы и методы с виртуальными очередями, в частности Drift-Plus-Penalty (DPP). В этих подходах ограничения учитываются косвенно, через множители Лагранжа или вспомогательные динамические переменные. Это позволяет избежать явных проекций на допустимое множество и зачастую приводит к более эффективной минимизации суммарной функции потерь. В то же время такие методы, как правило, не гарантируют строгую допустимость на каждом шаге и допускают положительные значения  $g(x_t)$  на отдельных итерациях, контролируя лишь их суммарный рост во времени [2].

### 1.3 Идея Polyak Feasibility Steps

В недавней работе предложен метод Polyak Feasibility Steps (PFS) для решения задач constrained online convex optimization. Основная идея метода заключается в следующем. После выполнения стандартного онлайн-градиентного шага по функции потерь алгоритм применяет дополнительный корректирующий шаг, направленный на восстановление допустимости решения.

Этот корректирующий шаг имеет форму шага Поляка и использует значение функции ограничения  $g(x)$ , а также её субградиент в текущей точке. В отличие от проекционных методов, PFS не требует явного вычисления проекции на истинное допустимое множество  $X$ . Вместо этого корректировка осуществляется за счёт локальной информации о нарушении ограничения, что позволяет эффективно сдвигать текущую точку в сторону допустимой области даже при сложной геометрии множества  $X$  [3].

### 1.4 Цель проекта

Целью данной работы является построение воспроизводимого экспериментального стенда для сравнительного анализа алгоритмов онлайн-оптимизации с ограничениями. В рамках исследования рассматриваются четыре метода: Polyak Feasibility Steps (PFS), Drift-Plus-Penalty (DPP), его модификация с затянутым ограничением (DPP-T), а также Projected Online Gradient Descent (POGD).

Сравнение проводится на двух типах задач: синтетической квадратичной задаче и задаче онлайн-логистической регрессии. Качество работы алгоритмов оценивается по двум основным группам метрик: величине regret, характеризующей эффективность минимизации функции потерь, и степени нарушения ограничений, рассматриваемой как в покомпонентном (мгновенном), так и в кумулятивном виде.

## 2 Постановка задачи: OCO и Constrained OCO

В данном разделе фиксируются используемые обозначения и формально описывается постановка задачи. В дальнейшем при описании алгоритмов и экспериментальной части мы будем регулярно ссылаться на последовательности  $x_t$ , функции потерь  $f_t$ , величину regret и метрики нарушения ограничений.

### 2.1 Онлайн-выпуклая оптимизация (OCO)

Пусть  $d$  — размерность пространства решений (например, число параметров модели). Рассматривается процесс, состоящий из  $T$  раундов. На каждом шаге  $t = 1, \dots, T$  происходит следующий цикл:

1. алгоритм выбирает решение  $x_t \in X$ , где  $x_t$  является управляемой переменной (например, вектор параметров модели, действие агента или распределение ресурсов);
2. после выбора раскрывается функция потеря  $f_t(\cdot)$ , и алгоритм несёт потери в размере  $f_t(x_t)$ .

Ключевая особенность онлайн-постановки заключается в том, что функция потеря  $f_t$  неизвестна в момент выбора  $x_t$  и становится доступной только после принятия решения.

**Выпуклость функций потерь.** Предполагается, что каждая функция  $f_t : \mathbb{R}^d \rightarrow \mathbb{R}$  является выпуклой. Это допущение позволяет применять градиентные и субградиентные методы оптимизации и получать теоретические гарантии сходимости.

**Regret как метрика качества.** Классической метрикой качества в задачах онлайн-выпуклой оптимизации является regret относительно лучшего фиксированного решения, выбранного задним числом:

$$\text{Regret}(T) = \sum_{t=1}^T f_t(x_t) - \min_{x \in X} \sum_{t=1}^T f_t(x).$$

Интерпретация данной величины следующая:

- $\sum_{t=1}^T f_t(x_t)$  — суммарные потери онлайн-алгоритма вдоль его траектории;
- $\min_{x \in X} \sum_{t=1}^T f_t(x)$  — потери наилучшего фиксированного решения, выбранного с полным знанием всех функций потерь;
- regret измеряет, насколько онлайн-алгоритм проигрывает этому оптимальному апостериорному выбору.

Целью является достижение сублинейного роста regret, например  $\text{Regret}(T) = o(T)$ , что эквивалентно условию  $\text{Regret}(T)/T \rightarrow 0$  при  $T \rightarrow \infty$  [1].

#### Пример

Пусть  $X = [-1, 1]$  и заданы функции потерь

$$f_1(x) = (x - 1)^2, \quad f_2(x) = (x + 1)^2.$$

Если алгоритм выбирает  $x_1 = 0$  и  $x_2 = 0$ , то

$$\sum_{t=1}^2 f_t(x_t) = f_1(0) + f_2(0) = 1 + 1 = 2.$$

Оракул выбирает фиксированное  $x \in [-1, 1]$ , минимизируя

$$f_1(x) + f_2(x) = (x - 1)^2 + (x + 1)^2 = 2x^2 + 2,$$

минимум достигается при  $x^* = 0$ , и его значение равно 2. Следовательно, regret в данном примере равен нулю.

## 2.2 ОСО с ограничениями

Во многих прикладных задачах решения должны удовлетворять дополнительным ограничениям, таким как ограничения на норму параметров, бюджет или уровень риска. Предположим, что заданы:

- простое выпуклое множество  $X_0$ , на которое можно эффективно выполнять проекцию (например, шар, прямоугольник или симплекс);
- набор выпуклых ограничений  $g_i(x) \leq 0$ ,  $i = 1, \dots, m$ .

Тогда истинное допустимое множество имеет вид

$$X := \{x \in X_0 : g_i(x) \leq 0, i = 1, \dots, m\}.$$

**Роль множества  $X_0$ .** Во многих алгоритмах constrained OCO (в частности, в DPP и PFS) используется проекция только на множество  $X_0$ , поскольку проекция на полное допустимое множество  $X$  может быть вычислительно сложной или недоступной. Ограничения  $g_i$  при этом учитываются косвенно, через штрафы, виртуальные очереди или корректирующие шаги.

**Метрики нарушения ограничений.** Так как некоторые алгоритмы допускают нарушение ограничений на отдельных шагах, вводятся количественные меры допустимости.

*Мгновенное нарушение* для одного ограничения определяется как

$$v_t := [g(x_t)]_+ = \max\{g(x_t), 0\}.$$

При наличии нескольких ограничений часто используется агрегированная мера, например

$$v_t := \sum_{i=1}^m [g_i(x_t)]_+ \quad \text{или} \quad v_t := \max_{i=1, \dots, m} [g_i(x_t)]_+,$$

в зависимости от целей анализа.

*Кумулятивное нарушение* за  $T$  шагов определяется как

$$V(T) = \sum_{t=1}^T v_t,$$

а *среднее нарушение* — как

$$\frac{V(T)}{T}.$$

Интерпретация данных величин следующая:

- если  $v_t = 0$ , то ограничение полностью выполнено на шаге  $t$ ;
- если  $V(T) = o(T)$ , то ограничения в среднем удовлетворяются асимптотически;
- если  $v_t \equiv 0$  для всех  $t$ , то допустимость соблюдается строго на каждом шаге.

## Пример

Рассмотрим одно ограничение  $g(x) = |x| - 0.5 \leq 0$ , то есть  $|x| \leq 0.5$ .

Пусть алгоритм выбирает  $x_1 = 0.4$ ,  $x_2 = 0.8$ ,  $x_3 = -0.6$ . Тогда

$$\begin{aligned} v_1 &= [|0.4| - 0.5]_+ = [-0.1]_+ = 0, \\ v_2 &= [|0.8| - 0.5]_+ = [0.3]_+ = 0.3, \\ v_3 &= [|-0.6| - 0.5]_+ = [0.1]_+ = 0.1. \end{aligned}$$

Кумулятивное нарушение при  $T = 3$  равно

$$V(3) = 0 + 0.3 + 0.1 = 0.4, \quad \frac{V(3)}{3} \approx 0.133.$$

**Две цели constrained OCO.** В задачах Constrained online convex optimization обычно стремятся одновременно обеспечить:

1. малую величину regret по потерям;
2. малое нарушение ограничений (например,  $V(T) = o(T)$ ).

Между этими требованиями, как правило, существует компромисс: усиление контроля допустимости часто приводит к ухудшению regret, и наоборот. В экспериментальной части работы алгоритмы сравниваются именно по этим двум критериям — качеству оптимизации и степени соблюдения ограничений [1, 2, 3].

## 3 Алгоритмы

В данном разделе описаны четыре алгоритма, реализованные и сравниваемые в проекте: проекционный онлайн-градиентный метод (POGD), примально-двойственный метод Drift-Plus-Penalty (DPP), его модификация с затянутым ограничением (DPP-T), а также онлайн-градиентный спуск с Polyak Feasibility Steps (PFS). Общее введение в онлайн-выпуклую оптимизацию и базовые методы приведено в обзоре Hazan [1], а методы с виртуальными очередями для учёта ограничений обсуждаются в работе Yu–Neely [2]. Метод PFS рассматривается в недавней статье 2025 года [3].

### 3.1 POGD: Projected Online Gradient Descent

**Идея.** POGD является базовым подходом к решению задач constrained OCO: после стандартного градиентного шага выполняется евклидова проекция на истинное допустимое множество  $X$ . В результате допустимость обеспечивается на каждом шаге, то есть мгновенные нарушения равны нулю.

**Шаг алгоритма.** На шаге  $t$  выполняются обновления

$$y_t = x_t - \eta_t \nabla f_t(x_t), \quad x_{t+1} = \Pi_X(y_t),$$

где  $\Pi_X(\cdot)$  обозначает евклидову проекцию на множество  $X$ .

**Когда применяется.**

- В случаях, когда проекция на  $X$  вычислительно проста (например, для box-ограничений, шара, симплекса или аффинных подпространств).
- В задачах, где требуется строгая допустимость на каждом шаге и нарушения ограничений недопустимы.

**Преимущества.**

- Строгая допустимость:  $g(x_t) \leq 0$  для всех  $t$ , то есть  $v_t = [g(x_t)]_+ = 0$ .
- Простая интерпретация и надёжная базовая линия [1].

**Недостатки.**

- Проекция на  $X$  может быть вычислительно сложной, если множество задано неявно или имеет сложную геометрию.
- Для множеств вида  $X = \{x \in X_0 : g(x) \leq 0\}$  вычисление  $\Pi_X$  может сводиться к решению отдельной вспомогательной задачи оптимизации.

---

#### Algorithm 1 POGD (Projected Online Gradient Descent)

---

- 1: **Input:**  $x_t \in X$ , шаг  $\eta_t$
  - 2: Получить градиент  $g_t \leftarrow \nabla f_t(x_t)$
  - 3:  $y \leftarrow x_t - \eta_t g_t$
  - 4:  $x_{t+1} \leftarrow \Pi_X(y)$
- 

### 3.2 DPP: Drift-Plus-Penalty (primal–dual, виртуальная очередь)

**Идея.** DPP относится к классу примально-двойственных методов для constrained ОСО. Ограничение учитывается посредством виртуальной очереди (двойственной переменной)  $Q_t \geq 0$ . При нарушении ограничения величина  $Q_t$  возрастает и усиливает вклад ограничения в последующих обновлениях. Это позволяет избежать проекции на истинное множество  $X$ , ограничиваясь проекцией на простое множество  $X_0$  [2].

**Интерпретация через лагранжиан.** Алгоритм можно интерпретировать как приближённую минимизацию на каждом шаге выражения

$$\mathcal{L}_t(x; Q_t) = f_t(x) + Q_t g(x),$$

с последующим обновлением  $Q_t$ , аккумулирующим нарушения ограничения.

**Шаг алгоритма.** Обновление решения имеет вид

$$x_{t+1} = \Pi_{X_0} \left( x_t - \eta (\nabla f_t(x_t) + Q_t \nabla g(x_t)) \right),$$

а обновление очереди задаётся правилом

$$Q_{t+1} = \max\{0, Q_t + c g(x_{t+1})\}.$$

### Когда применяется.

- В задачах, где проекция на истинное множество  $X$  затруднена, но доступно простое множество  $X_0$ .
- В ситуациях, когда допускаются нарушения на отдельных шагах, однако требуется контроль суммарного нарушения  $V(T)$ .

### Преимущества.

- Не требует проекции на  $X$  и использует только  $\Pi_{X_0}$ .
- На практике нередко демонстрирует хорошее качество по потерям за счёт допускаемых временных нарушений [2].

### Недостатки.

- Мгновенная допустимость не гарантируется: величина  $v_t$  может быть положительной.
- Результат существенно зависит от выбора гиперпараметров (например,  $\eta$  и  $c$ ), что может приводить либо к большим нарушениям, либо к ухудшению regret.

### Algorithm 2 DPP (Drift-Plus-Penalty) [2]

- 1: **Input:**  $x_t \in X_0$ ,  $Q_t \geq 0$ , шаг  $\eta$ , параметр очереди  $c$
- 2:  $g_t \leftarrow \nabla f_t(x_t)$
- 3:  $s_t \leftarrow \nabla g(x_t)$
- 4:  $x_{t+1} \leftarrow \Pi_{X_0}(x_t - \eta(g_t + Q_t s_t))$
- 5:  $Q_{t+1} \leftarrow \max\{0, Q_t + c g(x_{t+1})\}$

### 3.3 DPP-T: DPP с затянутым ограничением

**Идея.** В работе [3] рассматривается практический приём, заключающийся в замене ограничения  $g(x) \leq 0$  на более жёсткое

$$g_\rho(x) = g(x) + \rho \leq 0, \quad \rho > 0.$$

Такое затягивание формирует запас устойчивости: алгоритм стремится удерживать решения глубже внутри допустимой области, вследствие чего реальные нарушения  $g(x) > 0$  возникают реже.

**Как меняется DPP.** В рамках данной модификации меняется правило обновления очереди:

$$Q_{t+1} = \max\{0, Q_t + c(g(x_{t+1}) + \rho)\}.$$

Шаг по  $x$  может быть оставлен без изменений (через  $\nabla g$ ); в данном проекте затягивание используется именно как модификация сигнала, поступающего в очередь.

### Преимущества.

- Как правило, снижает суммарные нарушения  $V(T)$  за счёт более консервативного поведения [3].

### Недостатки.

- Может приводить к ухудшению regret, поскольку фактически оптимизация проводится относительно более строгого ограничения.
- Требует подбора  $\rho$ : слишком большое значение приводит к существенной деградации качества.

#### Algorithm 3 DPP-T (DPP with tightening) [3]

- 
- 1: **Input:**  $x_t \in X_0$ ,  $Q_t \geq 0$ , шаг  $\eta$ , параметры  $c, \rho$
  - 2:  $g_t \leftarrow \nabla f_t(x_t)$
  - 3:  $s_t \leftarrow \nabla g(x_t)$
  - 4:  $x_{t+1} \leftarrow \Pi_{X_0}(x_t - \eta(g_t + Q_t s_t))$
  - 5:  $Q_{t+1} \leftarrow \max\{0, Q_t + c(g(x_{t+1}) + \rho)\}$
- 

## 3.4 PFS: Online Gradient Descent + Polyak Feasibility Steps

**Идея.** Метод PFS является основным объектом исследования. Его цель состоит в том, чтобы избежать проекции на истинное множество  $X$ , сохранив при этом эффективный контроль допустимости за счёт использования значения ограничения  $g(x)$  и его субградиента. Базовая схема включает стандартный шаг онлайн-градиентного спуска в  $X_0$  и дополнительный корректирующий шаг типа Поляка в случае нарушения ограничения [3].

**Интуиция шага Поляка.** При  $g(y) > 0$  требуется уменьшить значение  $g$ . Рассмотрим линеаризацию ограничения:

$$g(y - \alpha s) \approx g(y) - \alpha \langle \nabla g(y), s \rangle.$$

При выборе  $s = \nabla g(y)$  получаем

$$g(y - \alpha \nabla g(y)) \approx g(y) - \alpha \|\nabla g(y)\|^2.$$

Соответственно, естественный выбор шага имеет порядок

$$\alpha \approx \frac{g(y)}{\|\nabla g(y)\|^2},$$

что соответствует идеи шага Поляка; на практике используется стабилизация знаменателя.

## Шаг алгоритма.

1. OGD-шаг с проекцией на  $X_0$ :

$$y_t = \Pi_{X_0}(x_t - \eta \nabla f_t(x_t)).$$

2. Если  $g(y_t) \leq 0$ , то положить  $x_{t+1} = y_t$ .
3. В противном случае выполнить корректирующий feasibility-шаг:

$$x_{t+1} = \Pi_{X_0} \left( y_t - \frac{g(y_t)}{\|\nabla g(y_t)\|^2 + \varepsilon} \nabla g(y_t) \right).$$

## Когда применяется.

- В случаях, когда проекция на  $X$  затруднена, однако вычисление  $g(x)$  и субградиента (или градиента)  $g$  является доступным.
- Когда требуется приблизиться по поведению к проекционным методам, избегая вычислительно дорогих проекций [3].

## Преимущества.

- Не требует проекции на  $X$  и использует только проекцию на  $X_0$ .
- Часто обеспечивает малые нарушения за счёт немедленной корректировки при выходе за границу допустимости [3].

## Недостатки.

- Корректирующий шаг не является точной проекцией на  $X$ , что может приводить к ухудшению regret по сравнению с POGD в случаях, когда  $\Pi_X$  проста.
- Поведение зависит от стабилизатора  $\varepsilon$ : слишком малое значение может приводить к численной неустойчивости, слишком большое — к недостаточной коррекции.

---

### Algorithm 4 PFS (Polyak Feasibility Steps) [3]

---

```

1: Input:  $x_t \in X_0$ , шаг  $\eta$ , стабилизатор  $\varepsilon$ 
2:  $g_t \leftarrow \nabla f_t(x_t)$ 
3:  $y \leftarrow \Pi_{X_0}(x_t - \eta g_t)$ 
4: if  $g(y) \leq 0$  then
5:    $x_{t+1} \leftarrow y$ 
6: else
7:    $s \leftarrow \nabla g(y)$ 
8:    $\alpha \leftarrow \frac{g(y)}{\|s\|^2 + \varepsilon}$ 
9:    $x_{t+1} \leftarrow \Pi_{X_0}(y - \alpha s)$ 
10: end if
```

---

## 4 Реализация и воспроизводимость

Проект (исходный код, конфигурационные файлы и примеры результатов запусков) размещён в открытом репозитории:

[https://github.com/zv3zdochka/oco\\_pfs\\_project](https://github.com/zv3zdochka/oco_pfs_project).

Реализация выполнена на Python с использованием NumPy, Pandas и Matplotlib. Экспериментальная часть построена таким образом, чтобы вычисления были полностью воспроизводимы на произвольной машине: все параметры задаются в YAML-конфигурациях, а результаты сохраняются в стандартных форматах CSV и PNG.

### 4.1 Структура проекта

Код организован в виде пакета `oco/` и разделён на функциональные модули:

- `oco/algorithms/` — реализации алгоритмов PFS, DPP, DPP-T и POGD;
- `oco/problems/` — постановки задач (бенчмарки): `toy_quadratic` и `online_logreg`;
- `oco/utils/` — проекции, субградиенты, генерация seed, логирование метрик, а также батч-решатель для вычисления baseline в regret;
- `oco/run_experiment.py` — основной модуль запуска экспериментов;
- `oco/plot_results.py` — построение графиков по сохранённым CSV-файлам.

Конфигурационные файлы экспериментов расположены в директории `configs/`: `configs/toy.yaml` и `configs/logreg.yaml`. В них задаются горизонты  $T$ , число прогонов (trials) и гиперпараметры алгоритмов.

### 4.2 Запуск экспериментов

Установка зависимостей выполняется командой:

```
pip install -r requirements.txt
```

Пример запуска экспериментов:

```
python -m oco.run_experiment --config ./configs/toy.yaml
python -m oco.run_experiment --config ./configs/logreg.yaml
```

Построение графиков для ранее сохранённой директории результатов:

```
python -m oco.plot_results --input results/toy/<timestamp>/
python -m oco.plot_results --input results/logreg/<timestamp>/
```

### 4.3 Сохраняемые артефакты

Каждый запуск создаёт директорию вида `results/<benchmark>/<timestamp>/`, содержащую:

- `metrics_agg.csv` — агрегированные метрики по каждому прогону (в частности, `regret`, `cum_viol`, `max_viol`, `cum_loss`);

- `metrics_summary.csv` — сводные статистики  $\text{mean} \pm \text{std}$  по trials для каждого алгоритма и значения  $T$ ;
- `metrics_step.csv` — пошаговые метрики (для больших горизонтов автоматически используется разрежение по времени);
- `optimal_points.json` — офлайн-оптимальные решения  $x$  (используются, в частности, для построения траекторий и sanity-check);
- `config_resolved.yaml` — конфигурация, с которой фактически запускался эксперимент;
- `*.png` — графики (regret, нарушения ограничений, траектории и др.).

## 4.4 Сопоставимость условий

Для корректного сравнения методы должны наблюдать одну и ту же последовательность данных внутри каждого эксперимента. В реализации используется следующая схема:

1. Для каждой пары  $(T, \text{trial})$  заранее генерируются все случайные величины, определяющие поток данных:
  - для Toy-бенчмарка — последовательность  $v_1, \dots, v_T$ ;
  - для LogReg-бенчмарка — пары  $\{(x_t, y_t)\}_{t=1}^T$ .
2. Далее все алгоритмы прогоняются по одной и той же заранее зафиксированной последовательности.

Начальные seed задаются детерминированно как функция от базового seed, номера прогона и горизонта  $T$ , что обеспечивает одновременно воспроизводимость и идентичность данных для всех методов внутри одного trial.

## 4.5 Метрики и ограничение на число обращений к $g(\cdot)$

Оцениваются две группы метрик:

- качество по потерям (regret):

$$\text{Regret}(T) = \sum_{t=1}^T f_t(x_t) - \min_{x \in X} \sum_{t=1}^T f_t(x);$$

- качество по соблюдению ограничений — мгновенные и кумулятивные нарушения:

$$v_t = [g(x_t)]_+, \quad V(T) = \sum_{t=1}^T v_t, \quad \max_t v_t.$$

В реализации отдельно контролируется, что каждый алгоритм выполняет ровно одно обращение к функции ограничения  $g(\cdot)$  на шаг. Для этого метод `algo.step()` возвращает пару  $(x_t, g(x_t))$ , которая далее используется логгером напрямую. Значение потерь  $f_t(x_t)$  вычисляется отдельно, так как относится к другому оракулу и не нарушает ограничение “один запрос к ограничению на раунд”.

## 4.6 Вычисление онлайн-оптимума для regret

Для вычисления regret требуется baseline вида  $\min_{x \in X} \sum_t f_t(x)$ . В используемых бенчмарках применяется следующий подход:

- **Toy Quadratic:** онлайн-оптимум имеет явную форму. Поскольку  $\sum_t 3\|x - v_t\|^2$  минимизируется в точке  $x = \frac{1}{T} \sum_t v_t$ , далее выполняется проекция среднего на box-ограничение  $[-b, b]^d$ .
- **Online LogReg:** онлайн-оптимум вычисляется приближённо с помощью батчевого projected gradient descent на шаре  $\|w\| \leq B$  (используются ранняя остановка и backtracking по шагу).

## 4.7 Реализованные эксперименты

В проекте реализованы два бенчмарка, запускаемые из отдельных YAML-конфигов:

- **Benchmark A (Toy Quadratic):**  $d = 2$ , набор горизонтов  $T$  (сеткой) и большое число trials; данный бенчмарк удобен для анализа асимптотики regret и метрик нарушений, а также для визуализации двумерных траекторий.
- **Benchmark B (Online LogReg):**  $d = 20$ , большой горизонт  $T = 50000$ ; данный сценарий отражает постановку онлайн-обучения при больших  $T$ , при этом логирование пошаговых метрик автоматически разрежается, чтобы ограничить объём сохраняемых данных.

Таким образом, экспериментальный стенд покрывает два типичных режима: (i) низкоразмерный случай, в котором геометрия ограничений и траектории решений поддаются прямой визуализации, и (ii) высокоразмерную задачу онлайн-обучения при больших горизонтах.

## 5 Эксперимент 1: синтетическая квадратичная задача Toy Quadratic

### 5.1 Постановка и онлайн-эталон

Рассматривается задача в размерности  $d = 2$ . На каждом шаге генерируется вектор  $v_t \sim \text{Unif}([0, 1]^2)$ , после чего задаётся квадратичная функция потерь (в соответствии с реализацией):

$$f_t(x) = 3\|x - v_t\|_2^2.$$

Функция  $f_t$  является выпуклой и  $L$ -гладкой, поэтому к ней непосредственно применимы онлайн-градиентные методы [1].

Истинное ограничение задаётся  $\ell_\infty$ -box:

$$g(x) = \|x\|_\infty - b, \quad b = 0.51,$$

и, соответственно, допустимое множество имеет вид

$$X = \{x \in \mathbb{R}^2 : |x_i| \leq b, i = 1, 2\}.$$

В качестве простого множества  $X_0$  используется евклидов шар радиуса  $R = 1$ :  $X_0 = \{x : \|x\|_2 \leq 1\}$ . Такой выбор обеспечивает включение  $X \subset X_0$ , тривиальность проекции на  $X_0$ , а также простоту проекции на  $X$  (покомпонентное отсечение), что делает бенчмарк удобным для проверки корректности реализации.

**Regret.** Regret вычисляется относительно лучшего фиксированного решения, выбранного апостериори:

$$x^* \in \arg \min_{x \in X} \sum_{t=1}^T f_t(x).$$

Для квадратичной функции потерь  $x^*$  выражается в замкнутой форме: это покомпонентное клиппирование среднего  $\bar{v} = \frac{1}{T} \sum_{t=1}^T v_t$  на box  $[-b, b]^2$  (множитель 3 на структуру решения не влияет). На рисунке с траекториями отмечена точка  $x^*$ ; визуально наблюдается, что траектории методов концентрируются в окрестности этой точки.

## 5.2 Параметры эксперимента

Конфигурация эксперимента задаётся файлом `configs/toy.yaml`. Горизонт выбирался из множества  $T \in \{2000, 4000, \dots, 20000\}$ , число прогонов (trials) для каждого значения  $T$  равно 30. Таким образом, полный запуск соответствует  $10 \times 30 \times 4 = 1200$  траекториям, что согласуется с журналом выполнения.

Ключевые гиперпараметры:

$$b = 0.51, \quad R = 1, \quad \varepsilon = 0.25, \quad \rho_{\text{PFS}} = 0.03.$$

Шаги для проекционных методов выбирались в форме  $\eta = \eta_{\text{const}} / \sqrt{T}$ :

$$\eta_{\text{const}}^{\text{POGD}} = 0.2, \quad \eta_{\text{const}}^{\text{PFS}} = 0.2, \quad \eta_{\text{const}}^{\text{DPP-T}} = 0.3.$$

Для DPP и DPP-T использовалась схема с виртуальной очередью и линейной аппроксимацией ограничения, как в примально-двойственных подходах [2]. В варианте DPP-T параметр *tightening* задавался по схеме, используемой в работе о PFS:

$$\rho = \min\{\varepsilon, \sqrt{c/T}\}, \quad c = 15,$$

то есть  $\rho$  убывает с ростом горизонта [3].

## 5.3 Результаты

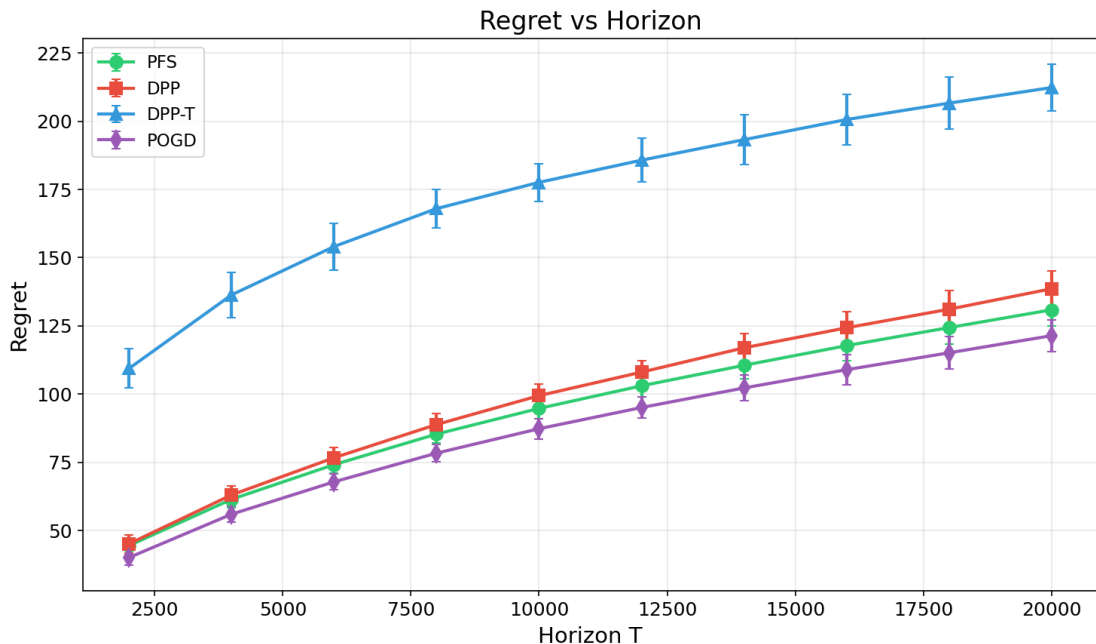


Рис. 1: Toy: regret как функция горизонта  $T$  (усреднение по 30 trials).

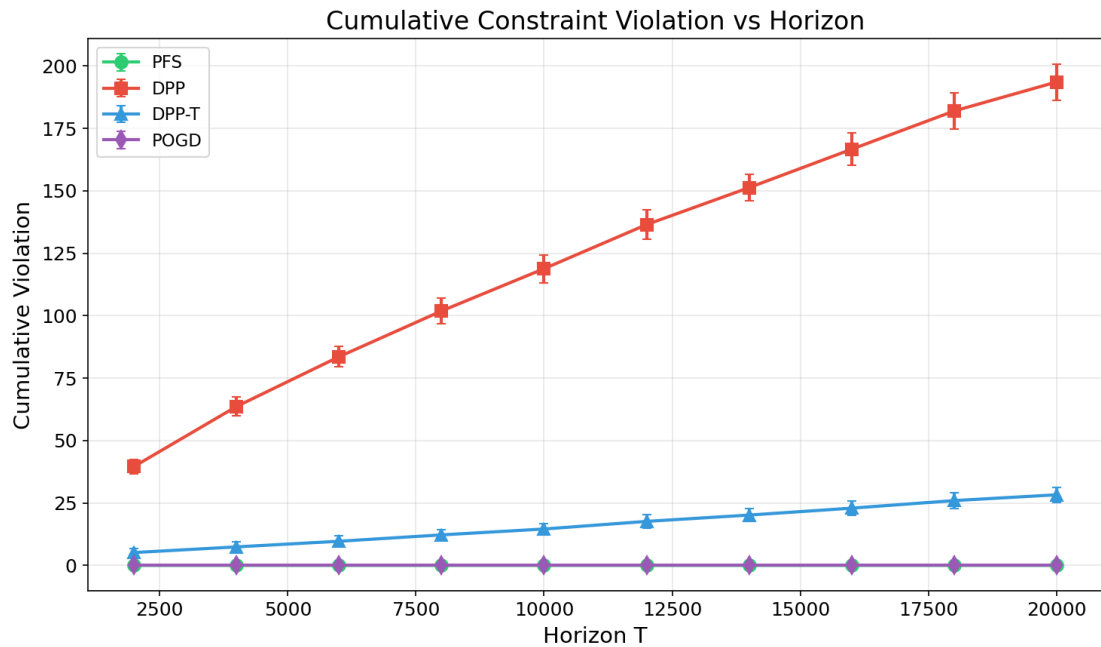


Рис. 2: Toy: қумулятивное нарушение ограничения  $V(T)$  в зависимости от горизонта.

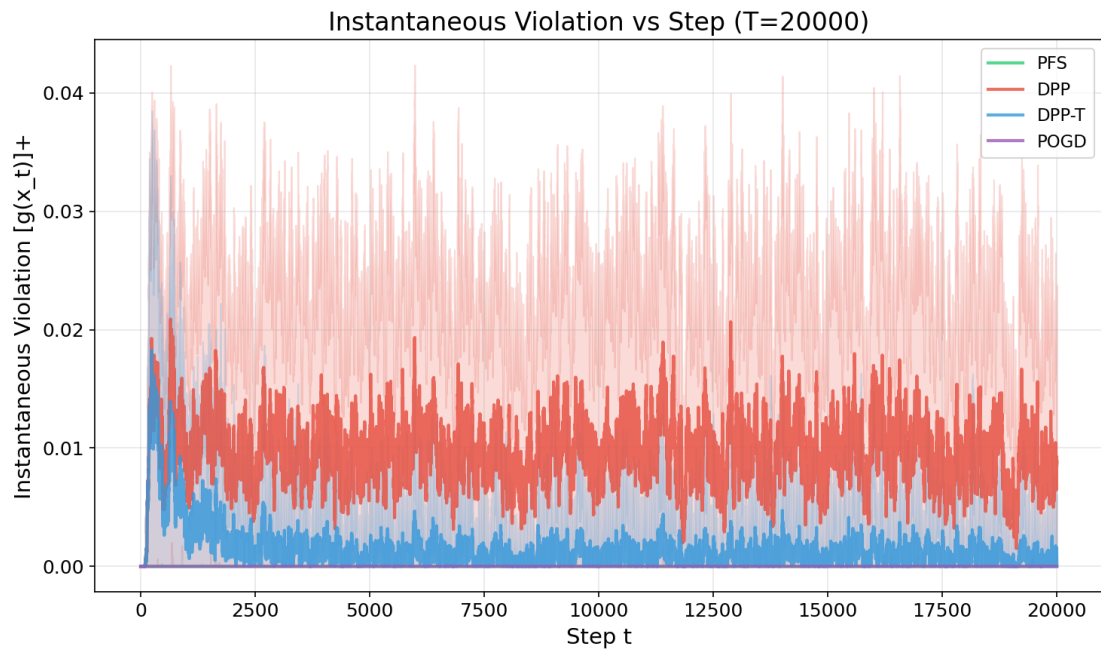


Рис. 3: Toy: мгновенное нарушение  $[g(x_t)]_+$  по шагам при  $T = 20000$ .

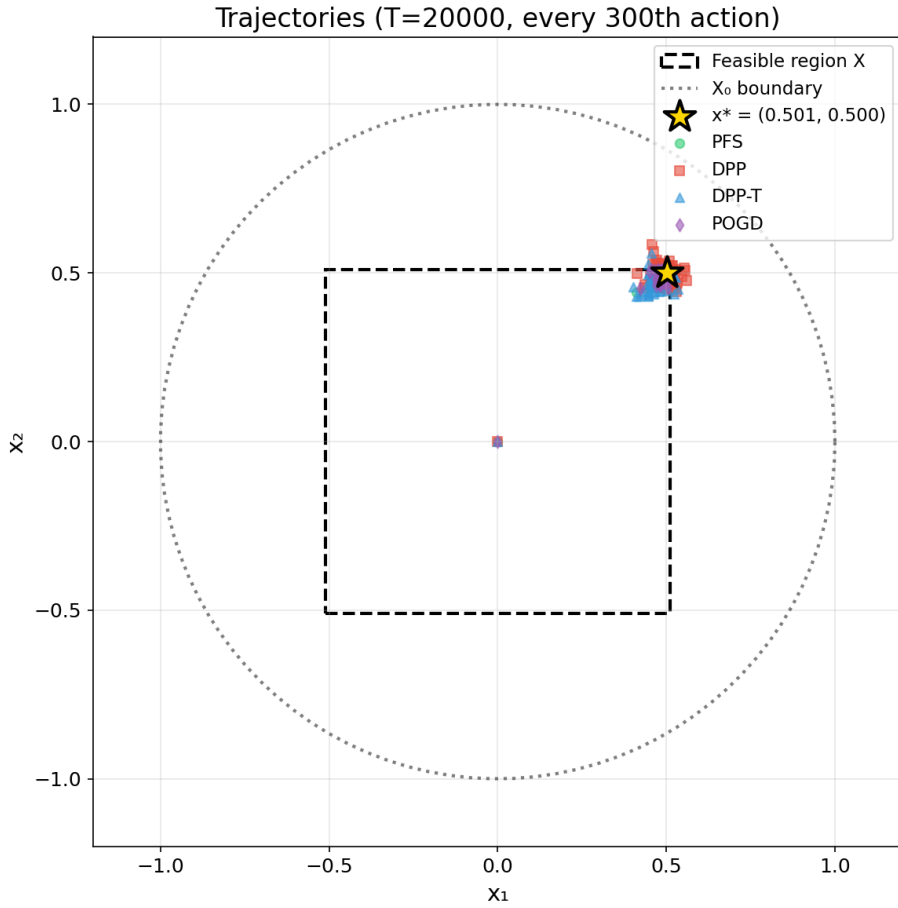


Рис. 4: Toy: траектории в  $\mathbb{R}^2$  при  $T = 20000$  (показан каждый 300-й шаг), box  $X$  и граница шара  $X_0$ .

Для фиксации наблюдений в численном виде приведём сводку результатов при  $T = 20000$  (среднее  $\pm$  std по 30 trials):

Таблица 1: Toy (T=20000): средние значения  $\pm$  стандартное отклонение.

Алгоритм	Regret	$V(T)$ (cum. viol)	$\max_t[g(x_t)]_+$
PFS	$130.88 \pm 3.41$	$8.83 \cdot 10^{-5} \pm 5.67 \cdot 10^{-5}$	$6.87 \cdot 10^{-5} \pm 3.28 \cdot 10^{-5}$
DPP	$138.59 \pm 5.95$	$193.60 \pm 5.53$	$0.092 \pm 0.008$
DPP-T	$212.35 \pm 8.04$	$28.28 \pm 2.86$	$0.066 \pm 0.008$
POGD	$121.39 \pm 4.99$	$0 \pm 0$	$0 \pm 0$

## 5.4 Результаты

Полученные результаты согласуются с ожидаемыми свойствами рассматриваемых подходов [1, 2, 3]:

- POGD обеспечивает строгую допустимость ( $V(T) = 0$ ) и демонстрирует наименьшие значения regret. Данный эффект ожидаем, поскольку проекция на box в рассматриваемой задаче вычислительно проста и удерживает траекторию внутри  $X$ .
- PFS также демонстрирует практически нулевые нарушения (значения  $V(T)$  порядка  $10^{-4}$ , то есть на уровне численной погрешности) и по regret близок к POGD. На

графике траекторий решения PFS располагаются внутри  $X$  и концентрируются в окрестности  $x^*$ .

- DPP характеризуется заметными нарушениями:  $V(T)$  растёт близко к линейному закону по  $T$ , а мгновенные нарушения флюктуируют вокруг положительного уровня. Такое поведение типично для примально-двойственных схем, в которых мгновенная допустимость не гарантируется [2].
- DPP-T снижает нарушения по сравнению с DPP (порядка нескольких раз при  $T = 20000$ ), однако сопровождается существенным ухудшением regret. Тем самым на данном бенчмарке отчётливо проявляется компромисс tightening: уменьшение величины нарушений достигается ценой деградации качества по потерям [3].

В совокупности первый эксперимент служит проверкой корректности реализации: наблюдаемая динамика соответствует проектным свойствам методов (проекционный подход обеспечивает строгую допустимость, примально-двойственные методы допускают контролируемые нарушения, а PFS приближается к проекционному поведению без явной проекции на  $X$ ).

## 6 Эксперимент 2: онлайн-логистическая регрессия с ограничением на норму

### 6.1 Задача

Во втором эксперименте рассматривается типичный сценарий онлайн обучения: на каждом шаге поступает новый пример, а параметры модели обновляются итеративно. Исследуется постановка онлайн-логистической регрессии с  $\ell_2$ -регуляризацией и явным ограничением на норму параметров.

Размерность параметров равна  $d = 20$ . На шаге  $t$  генерируется пример

$$x_t \sim \mathcal{N}(0, I), \quad y_t = \text{sign}((w^*)^\top x_t + \xi_t), \quad \xi_t \sim \mathcal{N}(0, \sigma^2),$$

где  $w^* \in \mathbb{R}^d$  — фиксированный «истинный» вектор, а  $\xi_t$  моделирует аддитивный шум.

Функция потерь задаётся регуляризованной логистической функцией:

$$f_t(w) = \log(1 + \exp(-y_t w^\top x_t)) + \frac{\lambda}{2} \|w\|_2^2, \quad \lambda = 0.1.$$

Первое слагаемое соответствует ошибке классификации на текущем примере, а  $\ell_2$ -регуляризация стабилизирует значения параметров.

Ограничение задаётся евклидовым шаром:

$$g(w) = \|w\|_2 - B \leq 0,$$

то есть требуется  $\|w_t\|_2 \leq B$  на каждом шаге (для проекционных методов) либо, в случае примально-двойственных методов, контролируется величина нарушений во времени. В качестве простого множества  $X_0$  используется более крупный шар  $\|w\|_2 \leq R_0$ , так что  $X \subset X_0$ .

**Интерпретация ограничения.** Ограничение на норму параметров можно интерпретировать как budget/risk constraint: чрезмерно большие веса приводят к нестабильным решениям и потенциально ухудшают обобщающую способность. В терминах constrained ОСО это пример ограничения, для которого проекция вычисляется эффективно.

## 6.2 Настройки

Горизонт фиксирован:  $T = 50000$ , число прогонов равно 10 (см. `configs/logreg.yaml`). Сравниваются те же четыре алгоритма: PFS, DPP, DPP-T и POGD. Используемые гиперпараметры:

$$\eta_{\text{const}} = 0.5, \quad \varepsilon = 0.1, \quad c = 20, \quad \rho = 0.01, \quad \sigma = 0.3.$$

Как и в первом бенчмарке, шаг обучения в реализации масштабируется как  $1/\sqrt{T}$ , что обеспечивает сопоставимость настроек при варьировании горизонта.

## 6.3 Графики по траектории

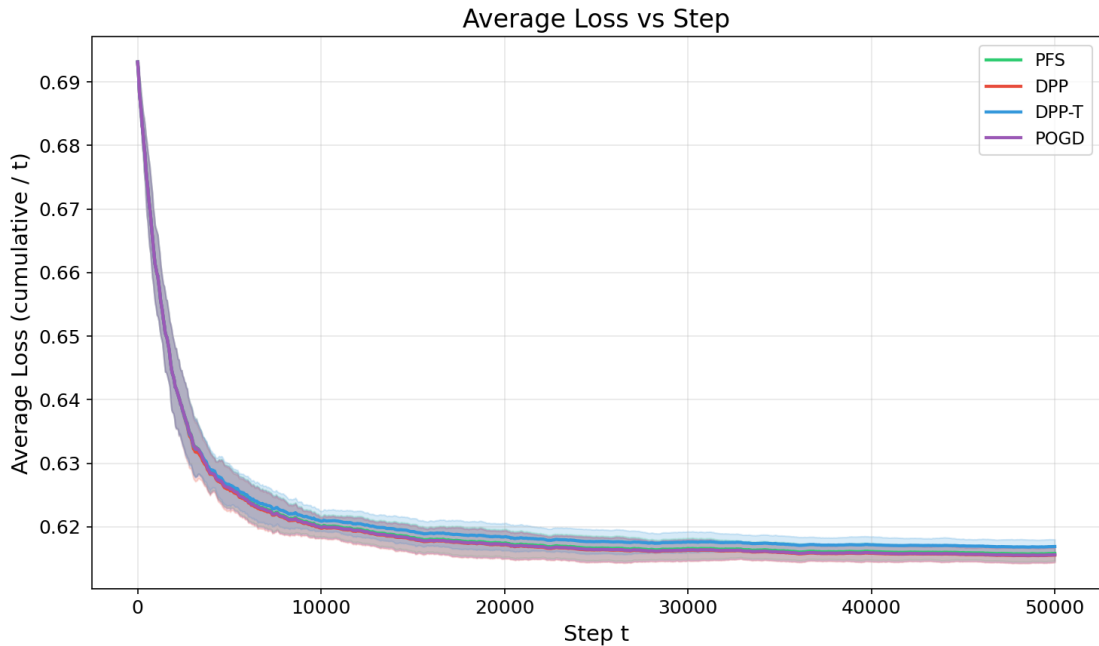


Рис. 5: LogReg: средняя потеря  $\frac{1}{t} \sum_{s \leq t} f_s(w_s)$  по шагам.

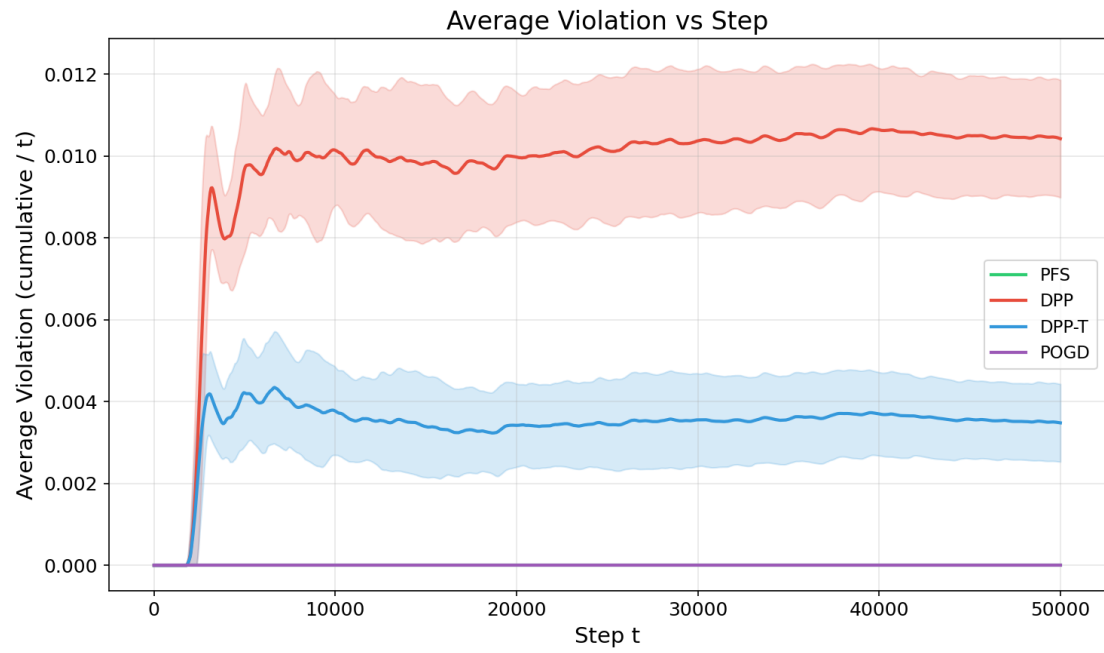


Рис. 6: LogReg: среднее кумулятивное нарушение  $\frac{1}{t} \sum_{s \leq t} [g(w_s)]_+$  по шагам.

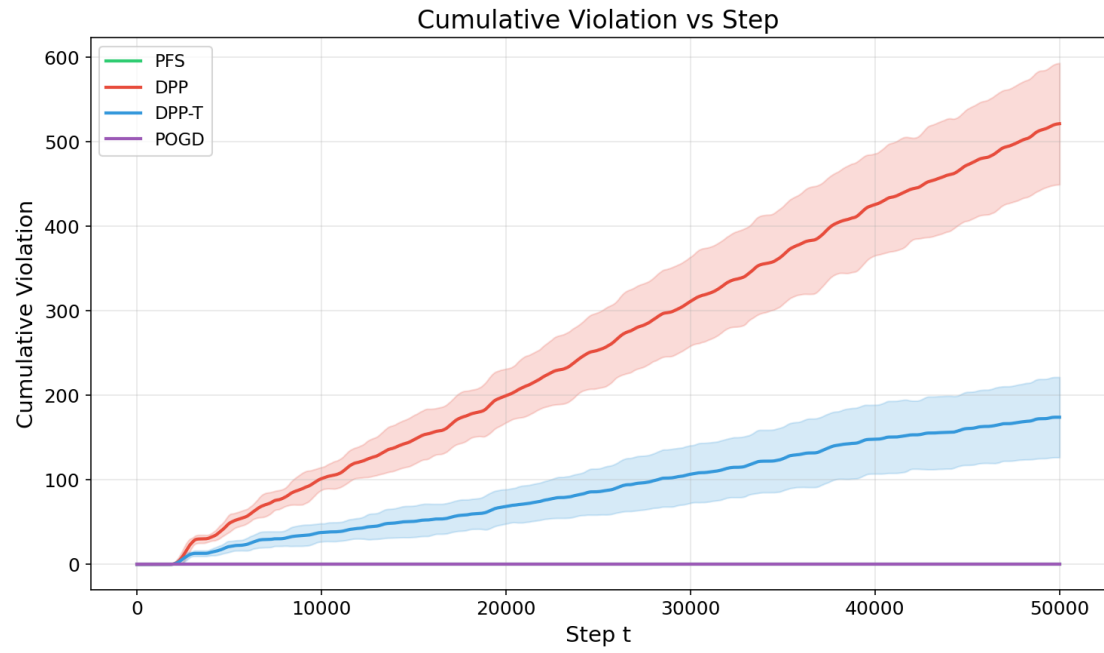


Рис. 7: LogReg: кумулятивное нарушение  $V(t) = \sum_{s \leq t} [g(w_s)]_+$ .

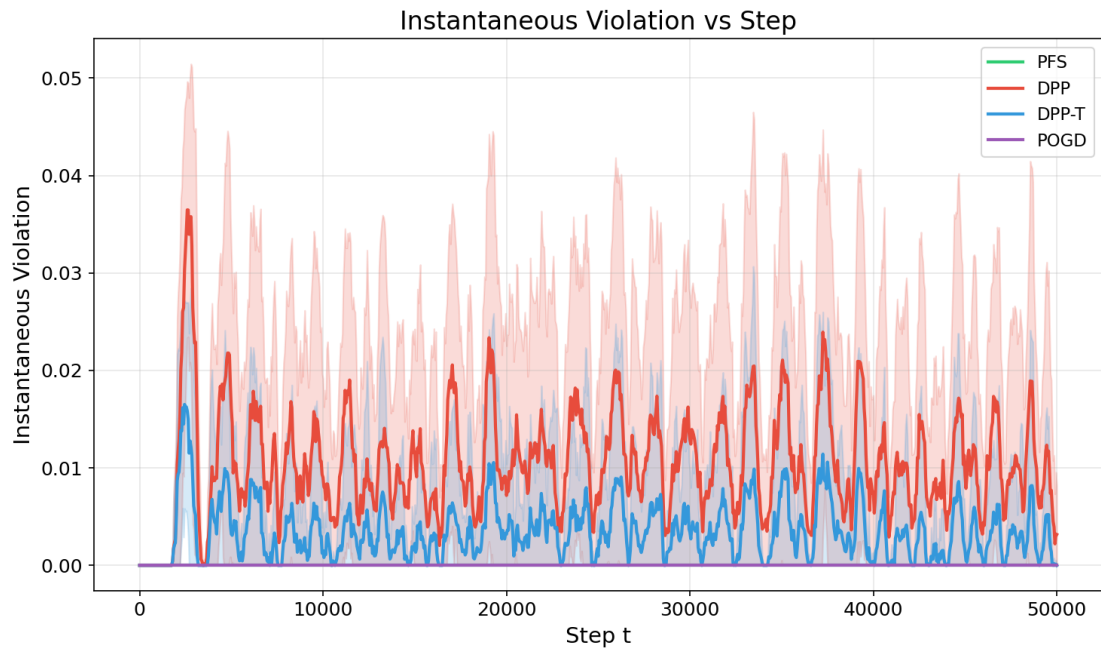


Рис. 8: LogReg: мгновенное нарушение  $[g(w_t)]_+$  по шагам.

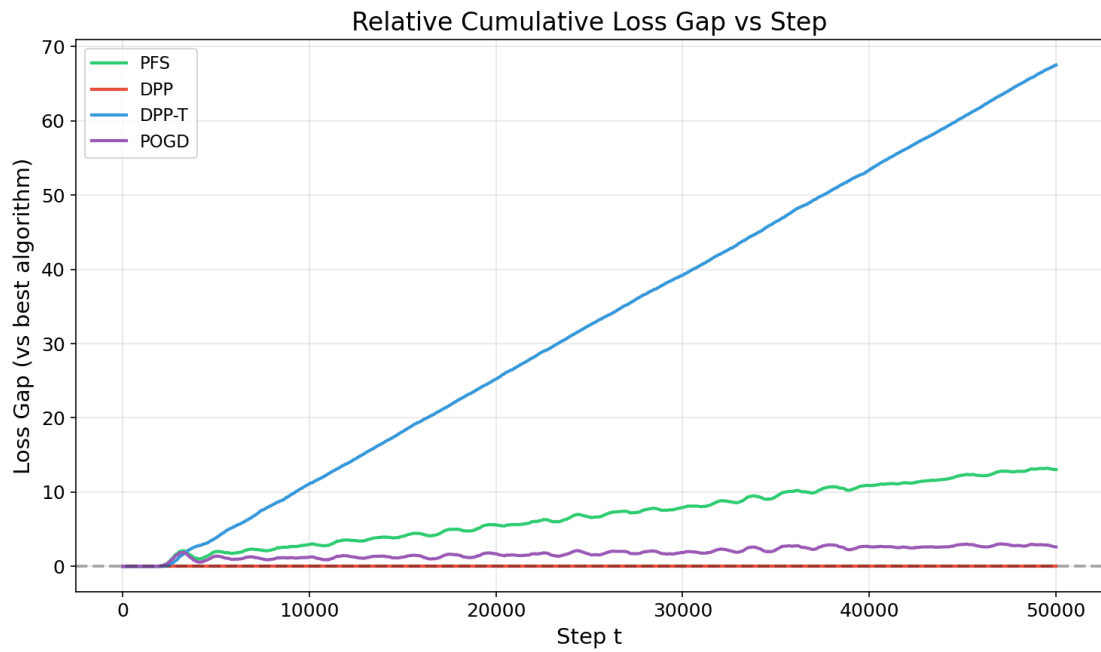


Рис. 9: LogReg: относительный разрыв по кумулятивной потере относительно лучшего алгоритма.

## 6.4 Итоговые метрики при $T = 50000$

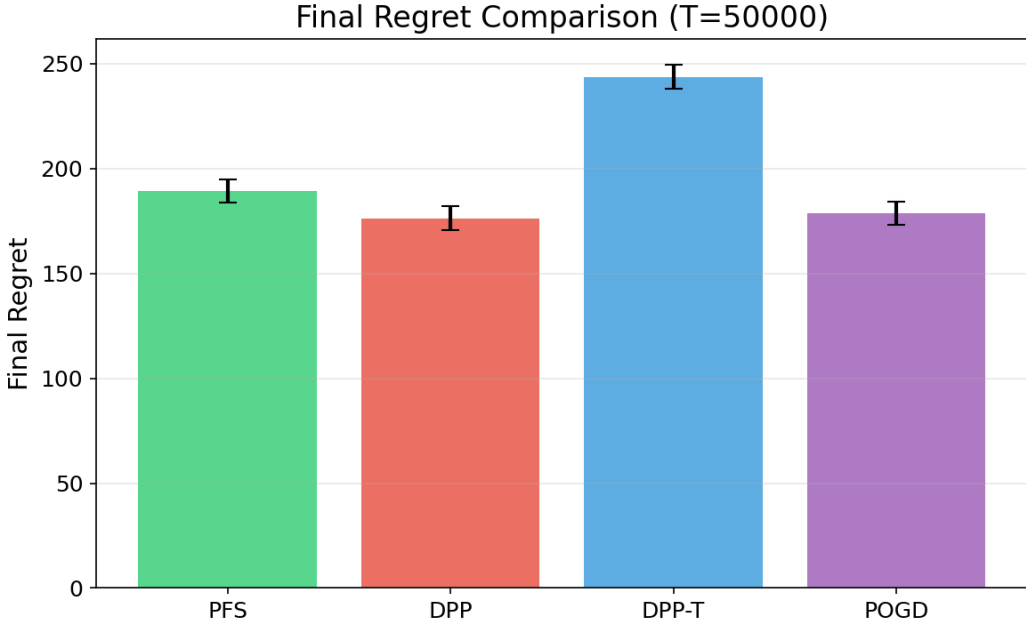


Рис. 10: LogReg: итоговое regret (с доверительными интервалами по trials).

По сводной таблице результатов (усреднение по 10 прогонам):

Таблица 2: LogReg ( $T=50000$ ): средние значения  $\pm$  стандартное отклонение.

Алгоритм	Regret	$V(T)$ (cum. viol)	$\max_t[g(w_t)]_+$
PFS	$189.27 \pm 5.55$	$0.00 \pm 0.00$	$0.00 \pm 0.00$
DPP	$176.24 \pm 5.78$	$521.37 \pm 71.85$	$0.07 \pm 0.01$
DPP-T	$243.76 \pm 5.79$	$174.14 \pm 47.47$	$0.05 \pm 0.01$
POGD	$178.86 \pm 5.56$	$0.00 \pm 0.00$	$0.00 \pm 0.00$

**Результаты.** Эксперимент иллюстрирует типичный компромисс «качество–допустимость» в constrained OCO:

- DPP демонстрирует наименьшее regret, однако сопровождается существенными нарушениями ограничений: кумулятивное нарушение  $V(T)$  растёт близко к линейному закону, а среднее нарушение стабилизируется на уровне порядка  $10^{-2}$ .
- DPP-T снижает нарушения относительно DPP (что отражается в меньших значениях  $V(T)$  и  $\max_t[g(w_t)]_+$ ), однако regret заметно увеличивается. Данный эффект соответствует интуиции tightening: оптимизация проводится при более жёстком ограничении  $g(w) + \rho \leq 0$ .
- POGD обеспечивает практически нулевые нарушения и при этом достигает regret, близкий к DPP. Это ожидаемо, поскольку ограничение в данном бенчмарке имеет простую форму (шар), а проекция вычисляется эффективно.
- PFS также обеспечивает нулевые нарушения, однако по regret уступает POGD и DPP. Это согласуется с тем, что PFS избегает точной проекции на  $X$  и использует

корректирующий шаг по ограничению, что может приводить к более консервативным обновлениям.

## 7 Выводы

### 7.1 Результаты экспериментов

Цель работы носила прикладной характер: реализовать Polyak Feasibility Steps (PFS) и сопоставить его с распространёнными базовыми подходами для constrained OCO — проекционным методом (POGD) и примально-двойственной схемой Drift-Plus-Penalty (DPP) вместе с её модификацией с tightening (DPP-T). Для разделения эффектов, связанных с геометрией допустимого множества и стохастичностью потока данных, использованы два бенчмарка: синтетическая квадратичная задача с простой проекцией и сценарий online learning с шумом.

**Эксперимент 1 (Toy Quadratic, box-ограничение).** В синтетической задаче с box-ограничением проекция вычисляется эффективно, поэтому POGD выступает естественным ориентиром по regret. Наблюдения подтверждают данное ожидание: POGD обеспечивает наименьший regret на всей сетке горизонтов, а PFS демонстрирует близкие значения. С точки зрения соблюдения ограничений результаты также показательны: POGD и PFS поддерживают около нулевые нарушения на всём горизонте, тогда как DPP приводит к заметному кумулятивному нарушению  $V(T)$ , растущему с увеличением  $T$ . Модификация tightening (DPP-T) уменьшает нарушения по сравнению с DPP, однако сопровождается существенным ухудшением regret. На траекториях в пространстве решений видно, что DPP и DPP-T могут выходить за пределы допустимого box и возвращаться обратно, тогда как PFS и POGD остаются в пределах допустимой области.

**Эксперимент 2 (Online Logistic Regression, ограничение на норму).** Во втором бенчмарке (онлайн-логистическая регрессия,  $T = 50000$ ) проявляется характерный для constrained OCO компромисс «качество–допустимость». Алгоритм DPP достигает наименьшего regret, но сопровождается заметными нарушениями ограничения.

$$\text{DPP: Regret} = 176.24 \pm 5.78, \quad V(T) = 521.37 \pm 71.85, \quad \max_t [g(w_t)]_+ = 0.07 \pm 0.01.$$

Вариант DPP-T снижает нарушения,

$$\text{DPP-T: Regret} = 243.76 \pm 5.79, \quad V(T) = 174.14 \pm 47.47, \quad \max_t [g(w_t)]_+ = 0.05 \pm 0.01,$$

однако существенно проигрывает по regret.

Алгоритмы PFS и POGD в данном эксперименте обеспечивают практически нулевые нарушения:

$$\text{PFS: } V(T) = 0.00, \quad \max_t [g(w_t)]_+ = 0.00; \quad \text{POGD: } V(T) \approx 0, \quad \max_t [g(w_t)]_+ \approx 0.$$

Встречающиеся значения порядка  $10^{-13}$  у POGD обусловлены машинной погрешностью вычислений в формате float и по смыслу эквивалентны нулю. По regret POGD представляет собой сильное компромиссное решение:

$$\text{POGD: Regret} = 178.86 \pm 5.56,$$

то есть близко к DPP при отсутствии нарушений. Алгоритм PFS уступает POGD по regret:

$$\text{PFS: Regret} = 189.27 \pm 5.55,$$

что согласуется с тем, что PFS не использует точную проекцию на  $X$ , а корректирует недопустимость через feasibility-step Поляка.

## 7.2 Интерпретация

Наблюдаемая картина объясняется геометрией допустимого множества и вычислительной стоимостью операций проекции и коррекции:

- При простой и вычислительно дешёвой проекции на  $X$  метод POGD обеспечивает одновременно строгую допустимость и конкурентоспособные значения regret. Это отчётливо проявляется в Toy-задаче (box) и подтверждается в задаче logreg (шар).
- Алгоритм DPP допускает временные нарушения и компенсирует их через виртуальную очередь; такая стратегия позволяет агрессивнее оптимизировать потери и, как следствие, улучшать regret, однако приводит к накоплению нарушений.
- Алгоритм DPP-T вводит “запас” по ограничению, уменьшая нарушения, но делает обновления более консервативными, что приводит к ухудшению regret (эффект наблюдается в обоих бенчмарках).
- Метод PFS занимает промежуточную позицию: он избегает явной проекции на  $X$ , поддерживая допустимость за счёт шага Поляка по ограничению. На рассматриваемых бенчмарках PFS обеспечивает нулевые нарушения, но не превосходит POGD по regret, что согласуется с тем, что проекция в этих постановках дешева.

## 7.3 Выводы

При наличии эффективной проекции на истинное допустимое множество  $X$  метод POGD остаётся наиболее простым и сильным базовым решением: он обеспечивает строгую допустимость и конкурентоспособные значения regret. Алгоритм DPP целесообразен в режимах, где мгновенная допустимость не является критической: он может улучшать качество по потерям, но ценой заметных нарушений ограничения. Вариант DPP-T подтверждает ожидаемый эффект tightening: нарушения уменьшаются, однако regret возрастает.

Метод PFS в экспериментах подтверждает ключевую идею: допустимость можно поддерживать без явной проекции на  $X$ , используя значение  $g(\cdot)$  и субградиент ограничения. Вместе с тем, в задачах с простой проекцией PFS не даёт выигрыша по regret относительно POGD. Практически это означает, что наибольшая ценность PFS проявляется в постановках, где проекция на  $X$  сложна или дорога, тогда как вычисление  $g(x)$  и  $\nabla g(x)$  остаётся доступным по цене; в таких режимах PFS может выступать реальной альтернативой проекционным методам [3].

## 7.4 Возможные направления развития

Дальнейшее развитие работы можно усилить следующими направлениями:

- Рассмотреть режим, в котором проекция на  $X$  действительно вычислительно затратна (например,  $X$  задано пересечением нескольких ограничений или не допускает простой формулы проекции). В этом случае целесообразно сравнивать не только regret/violation, но и вычислительное время шага.
- Провести анализ чувствительности по ключевым гиперпараметрам ( $\eta, c, \rho, \varepsilon$ ) и продемонстрировать устойчивость выводов.
- Рассмотреть несколько ограничений  $g_i(x) \leq 0$  и оценить поведение алгоритмов в более общей постановке constrained OCO.

## Список литературы

- [1] E. Hazan. *Introduction to Online Convex Optimization*. arXiv preprint arXiv:1909.05207, 2019.
- [2] H. Yu, M. J. Neely. *Online Convex Optimization with Stochastic Constraints*. In: Proceedings of the 30th Conference on Neural Information Processing Systems (NeurIPS), 2017. Также доступно: arXiv:1708.04726.
- [3] *Constrained Online Convex Optimization with Polyak Feasibility Steps*. arXiv preprint arXiv:2502.13112, 2025.
- [4] *Adaptive Methods for Online Convex Optimization*. arXiv preprint arXiv:2002.03963, 2020.
- [5] Яндекс Образование. *Онлайн-обучение и стохастическая оптимизация*. Доступно по адресу: <https://education.yandex.ru/handbook/ml/article/onlajn-obuchenie-i-stohasticheskaya-optimizaciya>